

کلونینگ و بیان ژن کد کننده آنزیم لاکاز از باکتری باسیلوس آنتراسیس سویه QZA2

پروین زمانی^۱، محمدعلی آموزگار^{*۱} و خسرو خواجه^۲

^۱ تهران، دانشگاه تهران، پردیس علوم، دانشکده زیست‌شناسی، بخش میکروبیولوژی

^۲ تهران، دانشگاه تربیت مدرس، دانشکده علوم زیستی، گروه بیوشیمی

تاریخ دریافت: ۹۲/۱/۱۵ تاریخ پذیرش: ۹۲/۲/۲۸

چکیده

لاکازها به دلیل توانایی اکسیداسیون طیف گسترده‌ای از ترکیبات فنولی کاربردهای بیوتکنولوژیکی گوناگونی دارند. در این مطالعه سویه بومی QZA2 که از خاکهای ایران جدا شده است مورد استفاده قرار گرفت. این سویه بر اساس توالی ۱۶ SrRNA بیشترین شباهت به باکتری باسیلوس آنتراسیس سویه ATCC 14578 دارد. ژن کد کننده آنزیم لاکاز از سویه QZA2 به وسیله پراپامیرهای کلونینگ تکثیر شد و سپس محصول PCR در ناقل بیانی (pET21a) کلون شد و آنالیز توالی انجام گرفت. این ژن سپس در باکتری اشریشیاکلی سویه BL21(DE3) تحت کنترل فاژ T7 بیان شد. ژن مولتی کوپر اکسیداز در سویه QZA2 یک قالب باز خواندن دارد که دارای ۱۶۵۶ نوکلوتوتید بوده و ۵۵۱ اسید آمینه را کد می‌کند و شامل ۴ دمین غنی از هیستیدین متصل شونده به مس بود. توالی آمینواسیدی مولتی کوپر اکسیداز سویه QZA2 دارای ۱۶ درصد همسانی به توالی آمینو اسیدی پروتئین CotA در باکتری باسیلوس سوبتیلیس و ۵۷ درصد شباهت را به توالی مولتی کوپر اکسیداز باکتری باسیلوس هالودورانس نشان داد. بیان تحت شرایط میکروآئروفیلیک به مقادیر بیشتر پروتئین محلول انجام گرفت. بیان آنزیم با استفاده از سوبسترانی معمول لاکاز ABTS سنجیده شد.

واژه‌های کلیدی: لاکاز، مولتی کوپر اکسیداز، کلونینگ، باسیلوس آنتراسیس

* نویسنده مسئول، تلفن: ۰۲۱۶۱۱۱۳۵۵۷، پست الکترونیکی: amoozegar@ut.ac.ir

مقدمه

دمین غنی از هیستیدین متصل شونده به مس هستند. اتمهای مس کوئوردینه شده در این پروتئین بر اساس خصوصیات اسپکتروسکوپی به سه نوع I، II و III دسته‌بندی می‌شوند. ویژگی اسپکتروسکوپی مس نوع I اساساً مشابه پروتئینهای انتقال دهنده الکترون است و بیشترین جذب را در طول موج ۶۱۰ نانومتر دارد، مس نوع II جذب ضعیفتری در این طول موج دارد و مس نوع III بیشترین جذب را در طول موج ۳۳۰ نانومتر نشان می‌دهد. مس نوع I و II به وسیله EPR قابل تشخیص بوده و دارای یک اتم مس هستند، در حالی که مس نوع III دارای یک جفت اتم مس است که به وسیله EPR قابل تشخیص نیست (۲۲). لاکازها به دلیل توانایی اکسیداسیون

پروتئینهای آبی چند مسی (MCBP) از معروف‌ترین گروههای پروتئین حاوی مس، دارای گروه متغیری از پروتئینها با ۲–۶ یون مس هستند (۱۲). اکسیدازهای چند مسی یک گروه از MCBP هستند که آنزیمهای متعددی مانند لاکازها (EC 1.10.3.2)، آسکوربیات اکسیدازها (EC 1.10.3.3)، سرولوپلاسمین (EC 1.16.3.1) و فرواکسیداز (EC 1.16.3.1) در این گروه قرار دارند (۲۱).

لاکازها (بنزیدیول اکسیژن اکسیدور دوکتاز) پلی فنول اکسیدازهایی هستند که طیف گسترده‌ای از ترکیبات فنولی را اکسید کرده و به طور گسترده‌ای در گیاهان، باکتریها، قارچها و حشرات توزیع شده‌اند (۴). این آنزیمهای دارای ۴

توسعه لاکازهای باکتریایی با توجه به مزایایی آنها از جمله پایداری بالا و تولید در مدت زمان کوتاه در محیط‌های ارزان، اهمیت قابل ملاحظه‌ای دارد. در این پژوهش ژنهای جدید دارای فعالیت بالقوه لاکاز با جستجو در پایگاه داده‌های بروتینی و نوکلئوتیدی، با الگو قرار دادن توالی ژن لاکازهای باکتریایی که تاکنون شناسایی و توالی یابی شده‌اند، مورد بررسی قرار گرفت. از بین ژنهای کاندید، ژن کد کننده آنزیم لاکاز از سویه QZA2، که از خاکهای بومی ایران جدا شده بود برای شناسایی، کلون و بیان ژن استفاده شد.

مواد و روشها

مواد: ایزوپروپیل- β -D-1-تیوگالاكتوپیرانوزید (IPTG)، آنزیمهای محدود کننده *XhoI* و *NdeI* از شرکت فرمتاز (آلمان) و ABTS از شرکت سیگما-آلدریچ (آمریکا) و سایر مواد از شرکت مرک (آلمان) خریداری شد.

سویه‌ها و محیط کشت: باکتری اشريشياکالی سویه-XL1Blue به عنوان سویه کلونینگ و باکتری اشريشياکالی سویه BL21(DE3) به عنوان سویه بیانی مورد استفاده قرار گرفت. انتخاب باکتری مورد نظر برای شناسایی تکمیلی بر اساس سویه بومی QZA2 انجام گرفت. این سویه از خاکهای ایران و از منطقه فیروز کوه تهران جدا شد. آزمونهای میکروسکوپی و فیزیولوژیک برای شناسایی سویه انجام شد. رنگ آمیزی گرم بر اساس روش هوكر انجام شد، و شکل میکروسکوپی سویه توسط میکروسکوپ نوری مشاهده شد. حرکت سلول با استفاده از روش لام مرتبط بررسی شد (۱۰). برای مشاهده حرکت از میکروسکوپ نوری استفاده شد. برای بررسی فعالیت کاتالازی از کشت ۲۴ ساعته سویه و پراکسید هیدروژن سه درصد به عنوان معرف استفاده شد و تولید حباب به عنوان واکنش مثبت در نظر گرفته شد. برای مشاهده اسپور باکتری از محیط اسپورزایی آگاردار استفاده شد، به علاوه جهت تأمین رشد و کاهش میزان آلوگی،

سوپستراهای گوناگون در سالهای اخیر از لحاظ کاربردهای بیوتکنولوژیکی اهمیت زیادی پیدا کرده‌اند و در صنایع مختلفی مانند: صنایع کاغذسازی، نساجی، غذایی، دارویی و همچنین در حذف زیستی ترکیبات فنولی کاربرد دارند (۱۵).

تا کنون لاکازها به طور وسیعی از قارچها جدا شده‌اند و در حال حاضر دارای کاربردهای بیوتکنولوژیکی هستند (۸). با وجود اینکه لاکازها به طور گسترشده‌ای در باکتریها وجود دارند اما تاکنون تعداد کمی از لاکازهای باکتریایی شناسایی شده است. لاکازهای باکتریایی تاکنون از باکتریایی مانند آزوسپیریلوم لیپوفروم (اولین لاکاز پروکاریوتی گزارش شده) (۱۱)، مارینوموناس مدیترانه‌ای (۲۰)، باسیلوس هالودورانس (۱۷)، باسیلوس لیکنیفورمیس (۱۳)، باسیلوس سوبتیلیس (۲۵) و باسیلوس اسفاریکوس گزارش شده است (۵). مهم‌ترین لاکاز باکتریایی که تاکنون به خوبی بررسی شده و خصوصیات ساختاری و بیوشیمیایی آن تعیین شده، پروتئین CotA اندوسپور باکتری باسیلوس سوبتیلیس است که به نظر می‌رسد این پروتئین در محافظت در برابر نور UV و پراکسید هیدروژن نقش دارد (۲۵). از جمله بررسیهای دیگری که در مورد جداسازی این آنزیم از باکتریها در ایران انجام شده است مربوط به جداسازی یک سویه ملانوژنیک (HR03) متعلق به جنس باسیلوس است که توانایی بالایی برای تولید انواع پایی فنول اکسیدازها مانند: کرزولازها (EC1.14.18.1)، کتکولاژها (EC1.10.3.1) و لاکاز (EC.1.10.3.2) را دارد (۲). آنزیم لاکاز این سویه کلون و بیان شده و ویژگیهای بیوشیمیایی آن تعیین شده است (۱۶). بررسیهای انجام شده در باکتریها و تحلیل کل ژنوم مشخص کرده که این آنزیمهایها در باکتریها به طور گسترشده‌ای توزیع شده‌اند، با وجود این اطلاعات در مورد لاکازهای باکتریایی کم است (۱۹). با توجه به توسعه روش‌های مولکولی و ابزارهای ژنتیکی گوناگون امکان بررسی ژنوم باکتریایی بیشتر شده و از آنجایی که فرآیندهای بیوتکنولوژیکی به خوبی شناسایی شده‌اند،

و پس از اتمام ۳۰ چرخه برای گسترش نهایی در ۷۲ درجه سانتی گراد به مدت ۷ دقیقه انجام شد. محصول نهایی حاصل از واکنش تعیین توالی شد (شرکت ماکروژن کره جنوبی).

کلونینگ ژن مورد نظر: همان طور که گفته شد لاکازها جزء آنزیمهای مولتی کوپر اکسیداز هستند. سویه از جنس باسیلوس که توالی مولتی کوپر اکسیدازی با فعالیت لاکازی دارد و همچنین توالی آمینواسیدی و توالی نوکلئوتیدی و همچنین خصوصیات بیوشیمیایی آن به خوبی شناسایی شده، باکتری باسیلوس هالودورانس است. در نتیجه از توالی آمینواسیدی و توالی نوکلئوتیدی ژن مولتی کوپر اکسیداز باکتری باسیلوس هالودورانس با شماره دسترسی NP_242948 به عنوان الگوی جستجو در پایگاه اطلاعاتی بانک ژنی استفاده شد. به منظور به دست آوردن توالی نوکلئوتیدی کد کننده مالتی کوپر اکسیدازهای باکتریایی که دارای فعالیت لاکاز باشند، از توالی نوکلئوتیدی مولتی کوپر اکسیداز باکتری باسیلوس هالودورانس به عنوان الگو استفاده شد و جستجو tBLASTn در پایگاه اطلاعاتی بانک ژنی، انجام شد.

به منظور طراحی پرایمر برای ژن مورد نظر در باکتری باسیلوس آنتراسیس سویه QZA2 توالی ژنی مولتی کوپر اکسیداز در سویه‌های مختلف باکتری باسیلوس آنتراسیس انتخاب شد و در دو پایگاه clustalW2 و NCBI Blas مورد بررسی قرار گرفت. واکنش زنجیره‌ای پلیمراز برای ژن مورد نظر با استفاده از پرایمر رفت با توالی ۵'-
ATACATATGATGCGATATATAAACAG

CGG-3' دارای جایگاه برش آنزیم *NdeI* در طرف ۵' و
 پرایمر برگشت با توالی ۵'-
GTGCTCGAGTTATTCTGGCTTATTAGGAATA
 دارای جایگاه برش آنزیم *XhoI* در طرف ۵' انجام شد. DNA ژنومی استخراج شده از سویه QZA2 به عنوان الگو مورد استفاده قرار گرفت. با استفاده از پرایمرهای طراحی شده ژن مورد نظر با واکنش زنجیره‌ای

کلرید سدیم به میزان ۳ درصد حجم محیط اضافه گردید (۱). ابتدا باکتری در محیط تولید اسپور کشت داده شد، و بعد از ۴ روز رنگ آمیزی اندوسپورها با رنگ فوشین بازی بر اساس روش شافر و فولتون انجام گرفت (۱۰). بررسی حساسیت سویه به پنی‌سیلین به روش انتشار از دیسک پس از انجام کشت چمنی از سویه‌ها در محیط نوترینت آکار انجام شد. وجود هاله عدم رشد نشان دهنده حساسیت سویه‌ها به پنی‌سیلین بود (۳). فعالیت همولیتیکی باکتری در محیط کشت آکار خوندار حاوی ۵ درصد خون گوسفند از لحاظ وجود و عدم وجود هاله شفاف اطراف کلینیها بررسی شد (۹).

شناسایی تکمیلی سویه منتخب با تکثیر و تعیین توالی ژن ۱۶S rRNA انجام شد. برای این منظور DNA ژنومی سویه استخراج شد (۲۴) و به عنوان الگو برای انجام واکنش زنجیره‌ای پلیمراز مورد استفاده قرار گرفت (۲۳) و با استفاده از پرایمرهای عمومی ۱۶S rRNA ۲۷F با توالی ۵'-AGAGTTGATCMTGGCTCAG-3' (۵') و ۱۴۹R با توالی (۵')-GGTTACCTTGTTACGACTTCACC-3' تکثیر انجام شد. به منظور تکثیر ژن ۱۶S rRNA با استفاده از واکنش زنجیره‌ای پلیمراز، بافر با غلظت ۱X در ترکیب نهایی، MgCl₂ با غلظت نهایی ۲/۵ تا ۰/۵ میلی مول ، dNTP با غلظت ۰/۴ میلی مول از هر کدام، آنزیم پلیمراز به میزان ۲U/۵۰ میکرولیتر و پرایمرهای Taq DNA رفت و برگشت از هر کدام به میزان ۰/۵ تا ۰/۴ میلی مول و الگو به میزان مناسب استفاده شد. در انجام واکنش زنجیره‌ای پلیمراز از نمونه با شرایط مشابه با سایر نمونه‌ها که در آن به جای DNA الگو از آب مقطر استفاده شده بود، به عنوان شاهد منفی استفاده شد. برای انجام این واکنش و اسرشت سازی اولیه با دمای ۹۵ درجه سانتی گراد به مدت ۵ دقیقه و ۳۰ چرخه تکرار شونده شامل و اسرشت سازی با دمای ۹۴ درجه سانتی گراد به مدت یک دقیقه، اتصال پرایمرها در ۵۷ درجه سانتی گراد به مدت یک دقیقه گسترش در ۷۲ درجه سانتی گراد به مدت یک دقیقه

افزوده شد و به مدت یک ساعت در ۲۲ درجه سانتی گراد و سپس ۱۲ ساعت در ۱۶ درجه سانتی گراد گرما گذاری شد. پلاسمید حاصل از اتصال قطعات ژنی در سویه XL1-Blue به عنوان وکتور کلونینگ، با روش شوک حرارتی ترانسفورم گردید. محصول حاصل از انتقال پلاسمید به سلول میزبان بر روی محیط کشت جامد دارای آمپیسیلین کشت داده شد. کلینیهای مثبت دارای پلاسمید نوترکیب انتخاب و صحت حضور پلاسمید مورد نظر در این سویه با روش هضم دوگانه با آنزیمهای محدود کننده استخراج پلاسمید pET21a از این سویه با استفاده از کیت استخراج پلاسمید Bioneer استخراج شد و برای اطمینان از صحت توالی مورد نظر با استفاده از پرایمرهای T7 promoter و *Xba*I و همچنین روش کلینی *Nde*I تأیید شد.

بعد از اطمینان از صحت توالی مورد نظر پلاسمید نوترکیب pET21a در سویه بیانی (*E. coli* BL21(DE3) E. coli BL21(DE3) ترانسفورم شد و سپس بر روی محیط LB دارای آمپیسیلین کشت داده شد. یکی از کلینیهای BL21 مثبت دارای پلاسمید نوترکیب pET21a که بر روی محیط LB جامد دارای آمپیسیلین رشد کرده بود به محیط LB حاوی آمپیسیلین به عنوان پیش کشت تلقیح شد و در شیکر انکوباتور با دمای ۳۷ درجه سانتی گراد با ۲۲۰ دور در دقیقه به مدت ۱۲ ساعت گرما گذاری شد. پس از این زمان از محیط پیش کشت به محیط TB حاوی آمپیسیلین تلقیح شد و در دمای ۳۰ درجه سانتی گراد با شیک ۱۸۰ دور در دقیقه قرار داده شد تا به OD ۰/۵-۰/۶ برسد. بعد از این زمان IPTG با غلظت نهایی ۰/۰۰۰ میلی مولار و CuSO₄ با غلظت نهایی ۲ میلی مولار به عنوان القاء کننده به محیط افزوده شد. به طور همزمان به عنوان نمونه شاهد، محیط کشتی با شرایط مشابه با شرایط قبل از همان کلینی مثبت تهیه شد اما بعد از رسیدن به OD القاء نشد. یک کلینی از سلولهای BL21 فاقد پلاسمید نوترکیب با شرایط یکسان با کلینی مثبت حاوی پلاسمید نوترکیب، نیز به عنوان نمونه شاهد منفی به طور

پلیمراز تکثیر شد. به منظور تکثیر ژن مورد نظر با واکنش زنجیره‌های پلیمراز بافر با غلظت ۱۰ میلی مول، MgCl₂ با غلظت نهایی ۰/۵ میلی مول، dNTP با غلظت ۰/۴ میلی مول از هر کدام، آنزیم Taq DNA پلیمراز ۲U/۵۰ میکرولیتر و پرایمرهای رفت و برگشت از هر کدام ۰/۸ تا ۱ میلی مول و DNA الگو به میزان مناسب استفاده شد. در انجام واکنش زنجیره‌ای پلیمراز از نمونه با شرایط مشابه با سایر نمونه‌ها که در آن به جای DNA الگو از آب مقطر تزریقی استفاده شده بود، به عنوان شاهد منفی استفاده شد. برای انجام واکنش زنجیره‌ای پلیمراز از واشرست سازی اولیه با دمای ۹۵ درجه سانتی گراد به مدت ۵ دقیقه و ۳۰ چرخه تکرار شونده شامل واشرست سازی با دمای ۹۴ درجه سانتی گراد و اتصال با دمای بین ۶۰-۵۵ درجه سانتی گراد هر کدام به مدت ۶۰ ثانیه و سنتز با دمای ۷۲ درجه سانتی گراد به مدت ۶۰ ثانیه و پس از اتمام ۳۰ چرخه برای سنتز نهایی دمای ۷۲ درجه سانتی گراد برای مدت ۱۵ دقیقه در نظر گرفته شد. محصول واکنش زنجیره‌ای پلیمراز با کیت خالص سازی مخصوص AccuPrep, nano-plus Plasmid mini (Bioneer, PCR Extraction kit, korea

محصول خالص شده و پلاسمید بیانی (pET21a(+)) توسط آنزیمهای محدود کننده به صورت جداگانه مورد هضم آنزیمی قرار گرفتند. به منظور هضم آنزیمی در واکنشهای جداگانه‌ای، بافر تانگو با غلظت ۲۰ در حجم نهایی، آنزیم *Xba*I ۱۰U/ μ l و *Nde*I ۱۰U/ μ l، محصول خالص شده و پلاسمید بیانی و آب مقطر تزریقی به میزان مناسب افزوده شد و به مدت ۴ ساعت در ۳۷ درجه سانتی گراد گرما گذاری شد. محصولات هضم شده توسط کیت خالص سازی مخصوص PCR خالص شد و سپس با غلظت مناسب توسط آنزیم لیگاز به هم اتصال یافت. واکنش اتصال شامل، بافر ویژه آنزیم لیگاز با غلظت نهایی ۱، آنزیم لیگاز (T₄ DNA Ligase) ۵U/ μ l و قطعات ژنی پلاسمید بیانی (pET21a(+)) و ژن خالص شده به میزان مناسب

هالودورانس به عنوان الگو انجام شد. در نتیجه این جستجو توالیهای متعددی در باکتریهای گوناگون شناسایی شد. یکی از این توالیها، توالی مولتی کوپر اکسیداز باکتری باسیلوس آنتراسیس بود که تاکنون نوع فعالیت و ویژگیهای این توالی شناسایی نشده بود. در نتیجه باکتری باسیلوس آنتراسیس به عنوان باکتری منتخب برای کلونینگ و بیان توالی مورد نظر در باکتری اشتباهی‌کلی انتخاب شد.

شناسایی سویه QZA2: نتایج بررسی صفات اولیه در سویه QZA2 نشان داد که این سویه، سویه‌ای گرم مثبت، دارای اندوسپور و کاتالاز مثبت، فاقد حرکت و حساس به پنی‌سیلین است و همچنین توانایی همولیز گلبولهای قرمز خون گوسفند را ندارد.

نتایج حاصل از تعیین توالی ژن ۱۶S rRNA با استفاده از نرم افزار Chromas Pro (Technelysium Pty Ltd, Australia) ویرایش شد و با استفاده از ابزار BLAST در دو بانک اطلاعاتی NCBI و پایگاه اطلاعاتی EzTaxon-e (<http://eztaxon-e.ezbiocloud.net/>; Kim et al., server 2012) ۲۰ مورد بررسی قرار گرفت. سویه QZA2 از نظر میزان شباهت در توالی ژن ۱۶S rRNA بررسی شد و درخت فیلوزنیک این سویه با الگوریتم Neighbor joining (۱۸) و ضربی Boot Strap (۱۰۰) و با نرم MEGA5 (Molecular evolutionary genetics analysis, version 5, Tokyo, Japan) رسم شد. بررسی توالی ژن ۱۶S rRNA سویه QZA2 نشان داد که این سویه دارای ۱۰۰ درصد شباهت به باکتری باسیلوس آنتراسیس سویه ATCC 14578^T است (شکل ۱).

تکثیر اختصاصی ژن لاکاز: توالی ژن لاکاز در باکتری باسیلوس آنتراسیس سویه QZA2 با استفاده از پرایمرهای طراحی شده اختصاصی ژن، تکثیر شد و صحت توالی آن مورد بررسی قرار گرفت.

پس از تأیید کلون شدن ژن مورد نظر در وکتور pET21a(+), پلاسمیدهای نوترکیب تخلیص شد و با

همزمان کشت داده شد. سپس محیطهای کشت القاء شده و القاء نشده (حاوی کلینیهای با پلاسمیدهای نوترکیب و غیر نوترکیب) به مدت ۴ ساعت در دمای ۱۸ درجه سانتی گراد با ۱۴۰ دور در دقیقه شیک شد و بعد از آن به مدت ۲۰ ساعت بدون شیک در دمای ۱۸۰ درجه سانتی گراد گرما گذاری شد. همچنین نمونه‌های تهیه شد که بعد از القاء شدن به مدت ۲۴ ساعت در دمای ۱۸ درجه سانتی گراد با ۱۴۰ دور در دقیقه (شرایط هوایی) قرار گرفتند.

از آنجایی که پروتئینهای بیان شده در داخل سلول مجتمع می‌شوند، سلولها بعد از ۲۰ ساعت گرما گذاری، با سانتریفیوژ در ۴۰۰۰g به مدت ۲۰ دقیقه در دمای ۴ درجه سانتی گراد جمع‌آوری شدند. رسوب به دست آمده در بافر فسفات ۵۰ میلی‌مولار با pH ۷/۶ با سانتریفیوژ با ۱۳۰۰۰g به مدت ۱۵ دقیقه در دمای ۴ درجه سانتی گراد رسوب داده شد. محلول رویی در ۷۰ درجه سانتی گراد به مدت ۱۵ دقیقه گرما گذاری شد و سپس برای حذف پروتئینهای دناتوره شده در ۱۳۰۰۰g به مدت ۱۰ دقیقه در دمای ۴ درجه سانتی گراد سانتریفیوژ گردید. عصاره سلولی به دست آمده برای هر دو نمونه کترل و آزمون، به منظور سنجش بیان آنزیم و ارزیابی میزان فعالیت آنزیم بیان شده، مورد سنجش آنزیمی قرار گرفت.

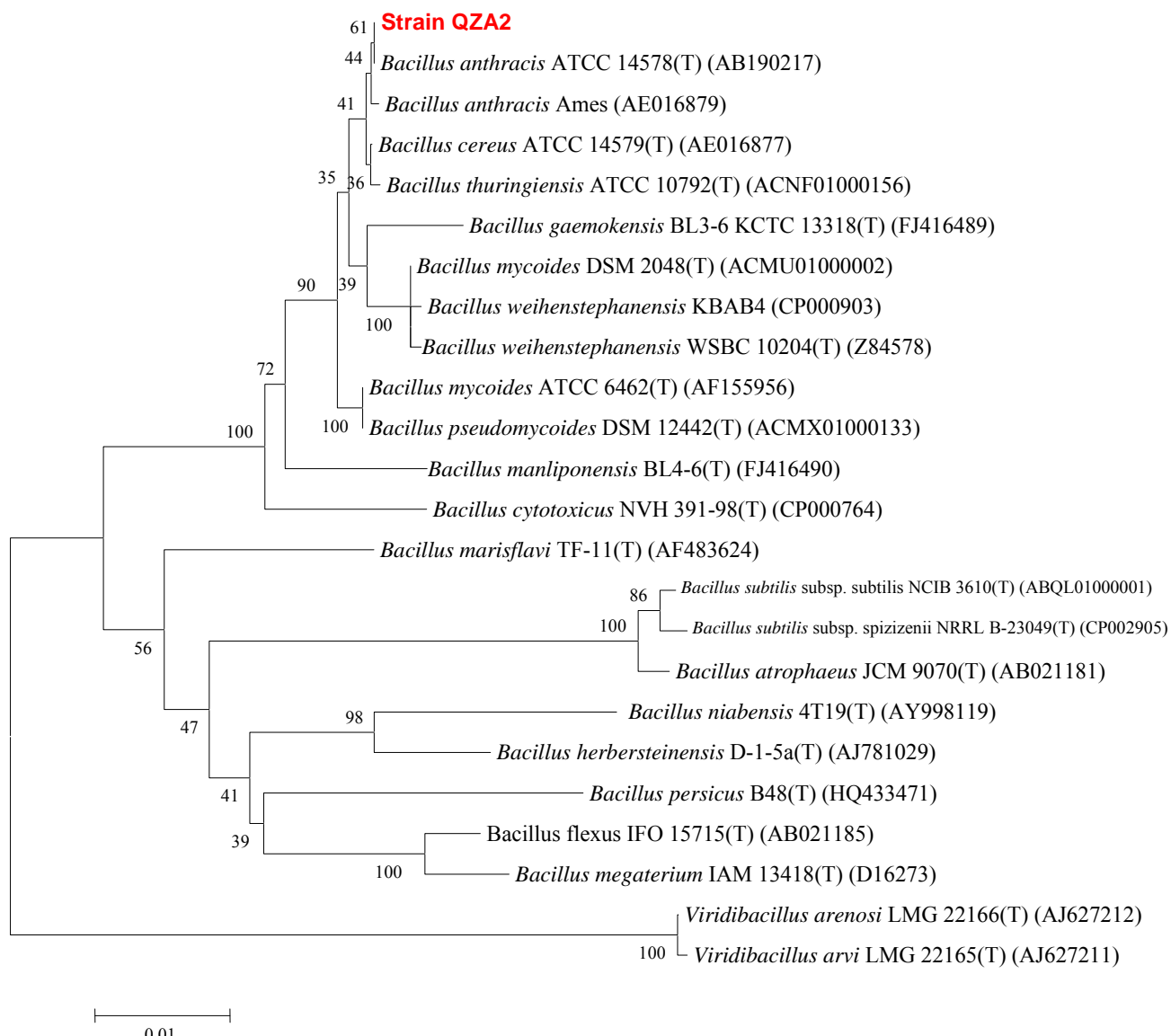
سنجش بیان آنزیمی: فعالیت آنزیمی در دمای اتاق در حضور سویسترازی معمول این آنزیم ABTS سنجیده شد. اکسیداسیون (۲ mM) ABTS در بافر فسفات ۱۰۰ mM با pH ۴ توسط افزایش جذب در طول موج ۴۲۰ نانومتر به مدت ۵ دقیقه اندازه گیری شد.

نتایج

جستجوی tBLASTn در پایگاه اطلاعات ژنی با استفاده از توالی نوکلئوتیدی و آمینواسیدی باکتری باسیلوس

(SIB) مؤسسه بیوانفورماتیک سوئیس (www.expasy.ch) به توالی آمینواسیدی تبدیل و مشخص شد توالی بدون جهش بود.

استفاده از پرایمرهای T7 promoter و T7 terminator تعیین توالی شد. نتیجه تعیین توالی ژن بررسی شد. توالی ExPASy داده‌های پایگاه در نوکلئوتیدی



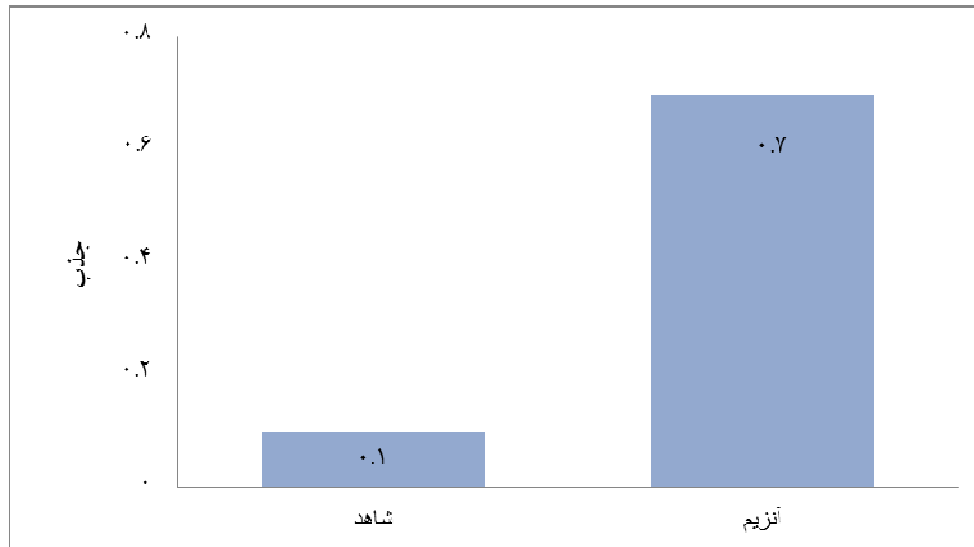
شکل ۱: درخت فیلوجنیک سویه QZA2 با روش Neighbor-joining و با استفاده از معیار ۱۰۰۰ Boot strap

نوترکیب pET21a که تحت شرایط القاء با IPTG و CuSO_4 قرار گرفته بود فعالیت آنزیمی نشان داد. سنجش فعالیت آنزیمی شامل اکسیداسیون ABTS (۲ میلی مolar)

سنجهش بیان آنزیم لاکاز: فعالیت آنزیمی لاکاز در دمای اتفاق در حضور سوبسترانی معمول این آنزیم ABTS انجام شد. از بین کلتهای بررسی شده تنها کلته دارای پلاسمید

شد، که نشانگر حضور آنزیم لاکاز در مخلوط واکنش بود (شکل ۲).

در بافر فسفات ۱۰۰ میلی مولار با pH ۴ با افزایش جذب در ۴۲۰ نانومتر مشاهده شد، همچنین در اثر اکسیداسیون ABTS با آنزیم لاکاز در مخلوط واکنش رنگ سبز ایجاد



الف



(ج)



(ب)

شکل ۲- (الف) افزایش جذب در اثر اکسیداسیون ABTS در طول موج ۴۲۰ نانومتر، بعد از زمان ۵ دقیقه میزان جذب به ۰/۷ رسید. نمونه شاهد افزایش جذب به علت شکستن خودبه خودی ABTS نشان می‌دهد. (ب) ایجاد رنگ سبز در اثر اکسیداسیون ABTS با آنزیم لاکاز برای نمونه لاکاز (ثبت ج) نمونه کنترل که عدم تغییر رنگ را نشان می‌دهد.

گزارش شده است در شرایط هوایی تنها بخش کمی از آنزیم بیان شده به صورت فعال باقی مانده و بیشتر محصول بیان به فرم جسم توده‌ای می‌باشد که این اتفاق احتمالاً به دلیل جایگزینی ناقص یون مس در ساختار آنزیم می‌باشد

بحث

بیان ژن لاکاز در شرایط معمول یعنی کشت سلول تحت شرایط هوایی جواب مطلوبی نداشت. همان طور که قبل

طرف دیگر توالی آمینواسیدی مولتی کوپراکسیداز سویه QZA2 دارای ۴۰ درصد همسانی و ۵۷ درصد شباهت به توالی آمینواسیدی لاکاز باکتری *بازیلوس هالودورانس* است.

چهار دمین غنی از هیستیدین متصل شونده به مس در آنزیمهای لاکاز وجود دارد. جایگاه‌های T1، T2 و T3 دارای ریشه‌های آمینواسیدی حفاظت شده‌ای هستند. همان‌طور که جدول ۱ دیده می‌شود، این جایگاه‌های متصل شونده به مس در توالی آمینواسیدی ژن مولتی کوپراکسیداز سویه QZA2 نیز وجود دارند و ژن مورد نظر در سویه QZA2 دارای ۴ ناحیه غنی از هیستیدین متصل شونده به مس است و شباهت زیادی به پروتئینهای متصل شونده به مس دارد (جدول ۱).

(۱۰). همان‌طور که دورائو (Durao) و همکاران به این نکته اشاره کرده‌اند که محتوای مس CotA وابسته به غنی‌سازی محیط کشت با یون مس و وجود اکسیژن در محیط کشت است (۶). تغییر شرایط آثربویک به میکروآثربویک محتوای داخل سلولی مس را افزایش می‌دهد. افزایش یون مس داخل سلولی و همچنین وجود شرایط میکروآثربویک منجر به ایجاد وضعیتی مناسب برای تاخوردگی و تشکیل هولوآنزیم می‌گردد. با توجه به این نتایج، القاء با IPTG در محیط غنی شده با CuSO_4 انجام گرفت و بعد با خاموش کردن شیکر میزان دسترسی به اکسیژن در کشت کاهش یافت. توالی آمینواسیدی مولتی کوپراکسیداز سویه QZA2 بررسی شده در NCBI Blast نشان داد که این توالی دارای ۱۶ درصد همسانی و ۲۴ درصد شباهت به توالی آمینواسیدی باکتری *بازیلوس سوبتیلیس* است. از

جدول ۱- هم تراز سازی ۴ دمین متصل شونده به مس در توالی آمینواسیدی برخی سویه‌های *بازیلوسی* و سویه‌های قارچی و مقایسه آنها با توالی مالتی کوپراکسیداز باکتری *بازیلوس آنتراسپیس* سویه QZA2. ریشه‌های آمینواسیدی متصل شونده به مس حفاظت شده برای مس نوع ۱، ۲ و ۳ با سایه نشان داده شده است. اعداد داخل پرانتز شماره دسترسی پروتئین مربوطه است (۹).

| نام و شماره دسترسی | ۲ ۳ | ۳ ۳ | ۱ ۲ ۳ | ۳۱۳ ۱ |
|---------------------------------------|-------------|-------------|-------------------|-------------------|
| <i>Phlebia radiate</i> (Q01679) | 83 TIHWG | 126 TFWYHSH | 418 HPFHLHGHTFSVV | 470 NFLCHIDW HL |
| <i>Trametes versicolor</i> (AAL00887) | 82 SIHWG | 125 TFWYHSH | 415 HPFHLGHAFAVV | 489 NFLCHIDF HL |
| <i>Coprinus cinereus</i> (AAD30964) | 80 SIHWG | 123 TFWYHSH | 414 HPFHLGHAFSVV | 466 NFFHCHIEF HL |
| <i>Pleurotus ostreatus</i> (Q12793) | 96 SIHWG | 139 TFWYHSH | 427 HPFHLHGHTFDVI | 480 NFLCHIDWHL |
| <i>Trametes villosa</i> (AAB477) | 85 TIHWG | 128 TFWYHSH | 425 HPFHLHGHTFSVV | 47 NFLCHIDF HL |
| <i>B. subtilis</i> Cot A (NP_388511) | 103 VV HLHG | 149 ILWYHDH | 419 HPIHLHLVSFRVI | 486 YVWHCHILE HE |
| <i>B. halodurance</i> (NP_242948) | 103 ALHLHG | 143 TYWYHSH | 413 HPMHLHGDFHFVI | 462 NMFHCHEF HA |
| QZA2 | 107 SIHWG | 157 TYWYHSH | 461 HPMHLHGFFQ | 516 WMFHCHDL HLA |
| <i>B. licheniformis</i> (YP_077905) | 100 VVHLHG | 146 ALWYHDH | 417 HPIHLHLVQFM | 487 YVWHCHILE HED |
| HR03 (FJ663050) | 102 VVHLHG | 148 ILWYHDH | 418 HPIHLHLVSFR | 485 VYWHCHILE HE |

جدول ۲- مقایسه همسانی ژن لاکاز در برخی از سویه‌های قارچی و برخی از باسیلوسها که با ClustalW2 بررسی شده است.
Bs B. QZA2
.Tv: *T. versicolor* **.Pr:** *Phlebia radiata* **.Bf:** *Botryotinia fuckeliana* **.Bl** *B. licheniformis* **.Bh** *B. halodurans* **.subtilis**
Po: *Pleurotus ostreatus* **.Tvi:** *T. villosa* **.Cc:** *C. cinereus*

| Enzyme | Identity (%) with multicopper oxidase from: | | | | | | | | | |
|--|---|----|----|----|----|----|----|----|-----|----|
| | HR03 | Bs | Bh | Bl | Bf | Pr | Tv | Cc | Tvi | Po |
| QZA2 | 16 | 16 | 41 | 13 | 20 | 20 | 20 | 20 | 20 | 21 |
| HR03 | | 98 | 19 | 65 | 13 | 13 | 12 | 11 | 13 | 13 |
| <i>B. subtilis</i> CotA | | | 19 | 65 | 12 | 12 | 12 | 11 | 13 | 12 |
| <i>B. halodurans</i> | | | | 18 | 20 | 17 | 17 | 14 | 16 | 16 |
| <i>B. licheniformis</i> | | | | | 13 | 13 | 12 | 12 | 11 | 10 |
| <i>Botryotinia fuckeliana</i> laccase (Lcc2) | | | | | | 29 | 28 | 30 | 32 | 31 |
| <i>Phlebia radiate</i> laccase | | | | | | | 68 | 55 | 69 | 64 |
| <i>T. versicolor</i> laccase (Lcc1) | | | | | | | | 57 | 69 | 63 |
| <i>C. cinereus</i> laccase (Lcc1) | | | | | | | | | 54 | 53 |
| <i>T. villosa</i> laccase (Lcc5) | | | | | | | | | | 59 |

لاکازهای باکتریایی که تاکنون بررسی شده‌اند، بالاتر است (جدول ۲). اگرچه بیان آنزیم با افزودن مس به محیط کشت، کاهش دما و ایجاد شرایط میکروآئروروبیک، نسبت به شرایط هوایی افزایش می‌یافتد، اما با این حال تنها بخش کمی از آنزیم بیان شده به صورت فعال بود. بهینه سازی شرایط بیان برای تولید آنزیمی با فعالیت بیشتر، بررسی فعالیت و پایداری آنزیم در شرایط مختلف دما و pH تعیین ویژگیهای آنزیمی، تعیین مکانیسم عمل آنزیم و تعیین ساختار آنزیمی برای ادامه کار پیشنهاد می‌شود.

مقایسه توالی آمینو اسیدی مولتی کوپر اکسیداز سویه QZA2 با توالی آمینواسیدی برخی لاکازهای قارچی و لاکازهای باکتریایی که تاکنون شناسایی شده است، با BLAST و ClustalW2 پروتئینی در پایگاه اطلاعات بانک ژنی نشان داد که توالی آمینو اسیدی مولتی کوپر اکسیداز باکتری باسیلوس آتراسیس سویه QZA2 دارای بیشترین شباهت به لاکاز قارچی، بوتریوتینیا فوکلیانا با شماره دسترسی AAK77953 و با ۲۸ درصد همسانی و ۴۱ درصد شباهت است. گرچه شباهت کلی سویه QZA2 به لاکازهای قارچی خیلی بالا نیست اما نسبت به سایر

منابع

1. Atlas, R. M., Bartha, R., 1998. Microbial Ecology: Fundamentals and Applications. 4th Edition. Addison-Wesley.
2. Badoei Dalfard, A., Khajeh, Kh., Soudi, M., Naderi-manesh, H., Banjbar, B., 2006. Isolation and biochemical characterization of laccase and tyrosinase activities in a novel melanogenic soil bacterium. *Enzyme and Microbial Technology*. 39(7):1409–1416.
3. Bauer, A.W., Kirby, W.M.M., Sherris, J.C., and Turck, M., 1966. Antibiotic susceptibility testing by a standardized single disk method.

- American Journal of Clinical Pathology. 45(44):493-496.
4. Claus, H., 2003. laccases and their occurrence in prokaryotes. *Archive of Microbiology*. 179(3): 145-150.
 5. Claus, H., Filip, Z., 1997. The evidence of a laccase-like activity in a *Bacillus sphaericus* strain. *Micribiological Research*. 152(2):209-215.
 6. Durao, P., Chen, Z., Fernandes, AT., Hildebrandt, P., Murgida, DH., Todorovic, S., Pereira, MM., Melo, EP., Martins, LO., 2008. Copper incorporation into recombinant CotA laccase from *Bacillus subtilis*: characterization of fully copper loaded enzymes. *Journal of Biological Inorganic Chemistry*. 13(2):183-193.
 7. Felsenstein, J., 1985. Confidence limits on phylogenies: an approach using the bootstrap. *Evolution*. 39(4): 783-791.
 8. Feng, X.u., Damhus, T., Danielsen, S., Ostergaard, L.H., 2007. Modern biooxidation: Enzyme, Reaction and Application. Edited by Rolf D. Schmid, Valada B. urlacher. Weinheim , Wiley.
 9. Forbes, B. A., Sahm, D. F., Weissfeld, A. S., 2002. Bailey & Scotts Diagnostic Microbiology. 11th ed. St. Louis: Missouri Mosby.
 10. Gerhardt, P., Murray R. G. E., 1994. Methods for general and molecular bacteriology. 3rd Edition. Washington. D. C: American Society for Microbiology.
 11. Givaudan, A., Effosse, A., Faure, D., Potier, P., Bouillant, M.L. & Bally, R., 1993. Polyphenol oxidase in *Azospirillum lipoferum* isolated from rice rhizosphere : evidence for laccase activity in nonmotile strains of *Azospirillum lipoferum*. *FEMS Microbiology Letters*. 108(2):205-210.
 12. Komori, H., Higuchi, Y., 2010. Structure and molecular evolution of multicopper blue proteins. *BioMolecular Concepts*. 1(1): 31-40.
 13. Koschorreck, K., Richter, S. M., Ene, A.B., Roduner, E., Schmid, R.D. Urlacher, V.B., 2008. Cloning and characterization of a new laccase from *Bacillus licheniformis* catalyzing dimerization of phenolic acids. *Applied Microbiology and Biotechnology*. 79(2):217-224.
 14. Kumar, S., Stecher, G., Peterson, D., and Tamura, K., 2012. MEGA-CC: Computing Core of Molecular Evolutionary Genetics Analysis Program for Automated and Iterative Data Analysis. *Bioinformatics*. 28(20):2685-2686.
 15. Mayer, A.M., Staples, R.C., 2002. Laccase: new functions for an old enzyme. *Phytochemistry*. 60(6):551-565.
 16. Mohammadian, M., Fathi-Roudsari, M., Mollania, N., Badoei-Dalfard, A., Khajeh, K., 2010. Enhanced expression of a recombinant bacterial laccase at low temperature and microaerobic conditions: purification and biochemical characterization. *Journal of Industrial Microbiology and Biotechnology*. 37(8):863-869.
 17. Ruijssenaars, H., J., Hartmans, S., 2004. A cloned *Bacillus halodurans* multicopper oxidase exhibiting alkaline laccase activity. *Applied Microbiology and Biotechnology*. 65(2): 177-182.
 18. Saitou, N., Nei, M., 1987. The neighbor-joining method: a new method for reconstructing phylogenetic trees. *Molecular Biology Evolution*. 4(4): 406-425.
 19. Sharma, P., Goel, R., Capalash, N., 2007. Bacterial laccases. *World Journal of Microbiology and Biotechnology*. 23(6):823-832
 20. Solano, F., Garcia, E., Perez de Egea, E., & Sanchez-Amat, A., 1997. Isolation and characterization of strain MMB-1 a novel melanogenic marine bacterium. *Applied and Environmental Microbiology*. 63(9): 3499-3506.
 21. Solomon, E.I., Augustine, A.J., & Yoon, J., 2008. O₂ reduction to HO by the multicopper oxidases. *Dalton Transaction*. 30: 3921-3932.
 22. solomon, E.I., Sundaram, U.M., Machonkin, T.E., 1996. Multicopper Oxidases and Oxygenases. *Chemical Reviews*. 96(7): 2563-2606.
 23. Spencer, J., 2004. Environmental microbiology: methods and protocols. US; Humana Press Inc.
 24. Wilson, K., 1987. Preparation of genomic DNA from bacteria. Current Protocols in Molecular Biology, B.R. Ausubel FM, Kingston RE, Moore DD, Seidman JG, Smith JA, Struhl K, editor., New York; John Wiley & Sons.
 25. Yang, S. Sh., Liu, Z. W., Yi, X.P. & Zhang, A. L., 2012. Isolation of laccase gene from *Bacillus subtilis* and analysis of its physicochemical properties. *Gene*. 491(1), 49-52.

Cloning and Expression of Laccase Enzyme from *B. anthracis* strain QZA2

Zamani P.¹, Amoozegar M.A.¹ and Khajeh Kh.²

¹ Microbiology Dept., School of Biology and Center of Excellence in Phylogeny of Living Organisms, College of Science, University of Tehran, Tehran, I.R. of Iran

² Biochemistry Dept., Faculty of Biological Sciences, Tarbiat Modares University, Tehran, I.R. of Iran

Abstract

Laccases have many biotechnological applications due to their oxidation ability towards a wide range of phenolic compounds. In this study, the strain QZA2 isolated from Iran soils was used. This strain showed high similarity to *Bacillus anthracis* strain ATCC 14578 according to 16S rRNA gene sequence. Laccase gene was amplified by cloning primers. Then PCR product cloned in the expression vector (pET21a) and transferred to BL21(DE3) strain of *E. coli* under the control phage T7 and sequence analysis carried out. The gene of the QZA2 has an open reading frame composed of 1656 bases, which encodes 551 amino acid residues and contain four histidine rich copper-binding domains. The laccase gene from QZA2 showed 16% similarity with CotA from *B. subtilis* and 57% similarity with multicopper oxidase *B. halodurans*. The expression was performed under microaerobic condition in order to obtain high amounts of soluble protein. Biochemical properties were investigated using common laccase substrates ABTS.

Key words: laccase, multicopper oxidase, cloning, *Bacillus anthracis*